Տեխնի1 անոֆոս

XXXII, No. 1, 1979

Серия технических наук

ЭЛЕКТРОТЕХНИКА

П. Е. АЗАРЯП

К ОПРЕДЕЛЕННЮ ТЕМПЕРАТУРЫ И РАСПОЛОЖЕНИЯ НАИБОЛЕЕ НАГРЕТОЯ ТОЧКИ В МНОГОСЛОЯНЫХ ДИЛИНД-РИЧЕСКИХ ОБМОТКАХ МАСЛЯНЫХ ТРАНСФОРМАТОРОВ

Существуют различные методы тепловых расчетов многослойных пилиндрических обмоток силоных масляных трансформаторов, где рассматривается одномерное температурное поле с постоянным внутренним источником тенла, не зависящим от температуры обмотки [1, 2].

При помощи этих методов невозможно определить координаты наиболее нагретой точки в двухмерном пространстве слоевых индинарических обмоток. Создание достаточно гочного и сравнительно нетрудосмкого метода является актуальной приблемой, позволяющей просто и надежно проектировать обмотки масляных трансформаторов.

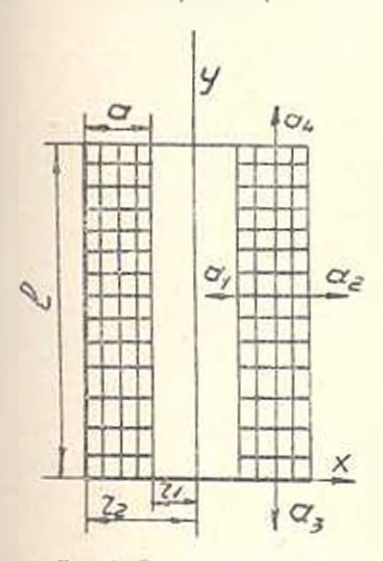


Рис. 1. Расчетная схема.

Слоевая инлиидрическая обмотка масляных грансформатороз (рис. 1) представляет собой совокупность проводниковых и изоляционных материалов, где теплопроводность по основным направлениям гепловых потоков различиа (м. М.).

Если совместить геометрические оси обмотки и температурного поля с основными направлениями теплопроводности, и также предположить что коэффициенты генлопроводности по этим направлениям постоянны, то для гемпературного поля обмотки дифферепциальное уравнение теплопроводности в цилиндрической системе координат

записывается;

$$\lambda_r \left(\frac{\partial^2 \theta}{\partial r^2} + \frac{1}{r} \frac{\partial \theta}{\partial r} \right) = r \cdot \frac{\partial \theta}{\partial v^2} + \rho = 0, \tag{1}$$

Если считать, что температурное поле в любом продольном, нормальном к слоям, сечения обмотки одинаково, то температурное поле обмотки может быть рассмотрено в прямоугольной системе координат. Принимая за определяющий размер ширину обмотки а, вводим относительные размеры $r_1=r_1/a,\ r_2=r_2/a,\ \tilde{l}=l\ a.$ В этом случае уравнение (1) записынается в виде:

$$\frac{\partial^2 0}{\partial x^2} - \frac{1}{x} \frac{\partial 0}{\partial x} + k \frac{\partial^2 0}{\partial y^2} + \frac{q a^2}{dt} = 0. \tag{2}$$

Граничные условия при $0 \leqslant y \leqslant 1$ —

$$\vartheta_{i} = \frac{1}{Bi_{i}} \left(J\vartheta / \vartheta \tilde{x} \right) \, \tilde{x} = \tilde{r}_{i} \tag{3}$$

a при
$$r_1 \le x \le r_2$$
 $\theta_2 = -1 Bi_n (\partial \theta / \partial x) x = r_2$, (4)
 $\theta_1 = 1/Bi_1 (\partial \theta / \partial y) y = 0$, (5)

$$0 = 1/Bi_1(\partial 0 \partial y) y = 0, (5)$$

$$\theta_4 = -I B(\sqrt{\theta \theta/\theta y}) y = 1.$$
 (6)

Здесь $Bi = z_1 a + \epsilon_1$, $Bi_2 = a_2 a / \epsilon_1$, $Bi_3 = a_3 a / \epsilon_2 T$, $Bi_4 = a_1 + \epsilon_2 T$ — критерии Био для боковых и торцевых поверхностей: $k=\frac{1}{L^2}$: $x=\frac{1}{L^2}$ v

$$=\frac{x}{a}$$
 — текушие координаты.

Гочно решение уранения (2) находится в виде рядов Фурьс [3, 4], а применение таких приближенных методов, как коллокации и наименьших квадратов приводит к громоздким вычислительным операциям. Наиболее удобным методом приближенного решения (2) является принции элементарной супернозиции, который применим к телам с равноерко распределенными внутренними источниками тепла [5] Для любого элементарного объема обмотки

$$q = q_x + q_y, \tag{1}$$

где q - и q составлиющие удельной мощности потерь, рассенваемые радиальными и продольными тепловыми потоками.

На основания (7) реальное двухмерное темп. ратурное поле обмотки можно представить как совокупность двух одномерных; раднального и продольного. Для раднального температурного поля обмотки

$$\frac{d^2 \theta_x}{d x^2} = \frac{1}{x} \frac{d \theta_x}{d x} = \frac{q_x \, d^2}{r_x} = 0, \tag{8}$$

а граничные условия --

$$v_4 = \frac{1}{Bi_1} \left(\frac{dv}{d\bar{x}} \right)_{T=\bar{D}}$$
(37)

$$\theta_1 = -\frac{1}{Bi_2} \left(\frac{dv}{dx} \right)_{\vec{x} = \vec{r}_1} \tag{41}$$

Решение уравнения (8) с граничными условиями (3') и (4') представяяется в виде [6]

$$0. = \frac{q_1 - q_2}{4h_2} \left(-\bar{x} + A \ln \bar{x} + B \right), \tag{9}$$

где

$$A = \frac{1}{n - m};\tag{10}$$

$$B = \frac{Mn - Nm}{n - m};\tag{11}$$

$$m = \ln \tilde{r}_1 - \frac{1}{\tilde{r}Bl_1}; \qquad (12)$$

$$n = \ln \bar{r}_{\rm g} + \frac{1}{r B l_{\rm g}}; \tag{13}$$

$$M = \overline{r_1} - \frac{2}{Bl_1} \, \overline{r_1}; \tag{14}$$

$$N = r_2 - \frac{2}{Bi_n} r_2. {(15)}$$

Максимальная гемпература в радиальном направлении $\frac{d}{dx} = \frac{1}{x} = 0$. Дифференцируя (9) по $\frac{1}{x}$ и решая относитель-

$$x_0 = 1 \ 0, 5 A, \tag{16}$$

следовательно.

по x_0 , получим

$$\theta_m = \frac{q_x a^2}{4} [A (\ln x_0 - 0.5) + B],$$
 (17)

откуда

$$a = \frac{1}{a^2 \left[A \left(\ln x_0 - 0.5 \right) + B \right]}.$$
 (18)

Для продольного температурного поля обмоток справедливо уравнение

$$k \frac{d^{n}}{dy} = \pm \frac{a^{n}q}{k_{t}} = 0, \tag{19}$$

а граничные условия -

$$\sigma_{s} = \frac{1}{Bi_{s}} \left(\frac{d^{3}}{dy} \right)_{\overline{v} = 0} \tag{5'}$$

$$0_4 = -1/Bt_*(d\partial_t d\bar{y})_{v=1}, \tag{6'}$$

Решенке уравнения (19) с граничными условиями (5') и (6') будет

$$\mathbf{v}_{y} = \frac{q_{y}a^{2}}{2h} \left(-\vec{\mathbf{y}} - \vec{\mathbf{D}}\vec{\mathbf{y}} + \frac{D}{Bh} \right) \tag{20}$$

где

$$D = \frac{1 - \frac{2}{Bi_1}}{1 + 1/Bi_3 + 1/Bi_4} \ . \tag{21}$$

Максимальная температура в продольном направлении определяется из условий $\vartheta_m = 0$ $\vec{q_v} = \vec{y_a}$ и $(d\vartheta_v) dv$ y = 0 . Следовательно.

$$y_0 = 0.5 D.$$
 (22)

$$\tilde{\pi}_{ii} = \frac{q_T a^g}{2 j_T g} \left(\frac{D^2}{4} + \frac{D}{B \tilde{t}_2} \right), \qquad (23)$$

откуда

$$a_1 = \frac{2\lambda_1 R \delta_2}{a^2 \left(\frac{D^2}{4} + \frac{D}{Bl_2}\right)} \tag{24}$$

Выражения (18) и (24) показывают, что значения интенсивности вкутрениих источников тепла при одномерных радиальных и продольных температурных полях не зависят друг от друга. Подставляя (18) и (24) в (7) и решвя относительно 0_m , получим

$$\vartheta_{m} = \frac{qa^{2}}{0.5 \, k[A (\ln \bar{x}_{0} - 0.5) - B] + \left(\frac{D}{4} + \frac{D}{2}\right)}$$
(25)

Таким образом:

$$\frac{A \ln x - x^2 - B}{A (\ln x_0 - 0.5) - B} \tag{26}$$

$$\frac{Dy - y^{k} - DBi_{1}}{D(1 - DBi_{k})} \tag{27}$$

На основе элементарной суперпозиции для превышения температуры в любой точке обмотки с координатами (х; ц) получим

$$\vartheta\left(\overline{x};\,\overline{y}\right) = -\frac{1}{2} = \vartheta x \frac{Dy - y^2 + D_1Bi_3}{2}$$

HJH

$$\overline{0}(\bar{x}; \; \bar{y}) = 0 - \frac{(A \ln x - x^2 + B)(D\bar{y} + \bar{y}^2 + D B l_3)}{1A (\ln x_0 + B)(D\bar{y} + D B l_3)}$$
(28)

При этом среднеобъемное 0- и среднеповерхностное и превышеши температуры над температурой окружающей среды, соответственво, определяются как

$$0 = \frac{1}{\pi a^2 I (1 + 2 \overline{r_1})} \int_{\overline{r_1}}^{\overline{r_2}} \int_{\overline{r_2}}^{1} 2 = x (\overline{x}, \overline{y}) dx dy = 0. E_1 b_1.$$
 (29)

6.40

$$E_1 = \frac{A\left(\frac{r^2 \ln r}{r} - r^2 \ln r}{2r + 1} - 0.5\right) - \frac{r^2 - r^2}{2} + B}{A\left(\ln x_a - 0.5\right) - B}.$$
 (30)

$$E_{2} = \frac{0.5 D - \frac{1}{2} + D B t_{3}}{\frac{D}{A} + D/B t_{3}}$$
 (31)

3.1

$$\frac{2 \sin^2 \tilde{l} \left[r_1 \left(A \ln r_1 - \tilde{r}_1^2 + B \right) + r_2 \left(A \ln r_1 - r_1 + B \right) \right]}{\left[A \left(\ln \tilde{x}_0^2 - 0.5 \right) + B \right] \left(\frac{D^2}{4} + \frac{B}{B I_2} \right)}$$

$$\times \frac{\int\limits_0^{\mathbb{T}} \left(\ D\overline{y} - \overline{y}^2 + \frac{D}{Bl_1} \right) d\overline{y}}{\int\limits_0^0 d\overline{y}} + \frac{\pi a^z \left(1 + 2 \, \overline{r}_1 \right) \left(D - 1 + \frac{2}{Bl_2} \right)}{\left[A \left(\ln \overline{x}_0 - 0.5 \right) + B \right] \left(\frac{D^2}{4} + \frac{D}{Bl_2} \right)} \times$$

$$\frac{\int (A \ln x_1 - x^2 + B) 2\pi x dx}{12\pi x dx}$$
(32)

откуда

$$B_{1} = B_{1} \left(\frac{\overline{I}}{1+I} E_{1} E_{4} + \frac{1}{2(1+\overline{I})} E_{1} E_{3} \right), \tag{33}$$

гле

$$E_{s} = \frac{D - 1 = \frac{2D}{BI_{s}}}{\frac{D}{4} - \frac{D}{Bi_{s}}}.$$
 (34)

$$E_4 = \frac{A \frac{r_1 + r_2 + r_3}{1 + 2 r_3} - (r_1 + r_2) + B}{A \cdot (\ln \bar{x}_0 - 0.5) + B}$$
(35)

Анализ решения

- 1. Если верхиий торец обмотки теплоизолирован, то $Bi_{\bullet}=0$ (полуограниченный цилиндр). В этом случае D=2 и $y_{o}=1$ и наиболеенагретая точка находится у верхнего горца обмотки с координатами $(x_{o};1)$. Превышение температуры наиболее нагретого участка обмоток, среднеобъемное и средненоверхностное значения, а также се пространственное распределение в обмотках определяются по формулам (25), (29), (33), (28).
- 2. Если внутренняя боковая новерхность теплоизолирована, го $Br_1 = 0$. В этом случає $A = 2r_1^*$, $x_0 = r_1$ и $B = 2r_1^* n N$, поэтому наиболее нагретая точка находится на внутренней поверхности обмотки с к ординатами $(r_i; 0.5, D)$. Вышсука аниые превышения температуры определяются теми же формулами с учетом $x_1 = r_1$ и $B = 2, r_1^* n N$.
- 3. Если ториевые поверхности теплоизолированы (обмотка в пролольном направлении неограничена), то $Bi_* = Bi_* = 0$. В этом случае D=1 и g=0,5. Наиболее нагретая точка находится на середине обмотки с координатами $(x_*; 0.5)$. Если $Bi_* = Bi_* \rightarrow \infty$ (превышение температуры внутрениих и наружных боковых поверхностей над температурой окружающей среды равно нулю), то в этом случае оно идентично решению, принятому в [1].
- 4. Если внутренняя боконая и верхняя торцевая поверхности теплонзолированы, то $1=2\,r_1$ и D=2, или $x_o=r_1$ и $y_c=1$. Наиболее натретая точка в рассматриваемой части обмоток имеет координаты $(r_0,1)$.
- 5. Когда интенсивность внутренних источникой тепла зависит от темперы, считаем, что в каждом конкретном интервале темперия постояния и равна среднему значению для этого интервала. При оперировании средних значений радиальной и продольной составляющих удельной мошности потерь при любом характере зависимости $q(\theta)$ с достаточной для инженерных расчетов степени точности применимы все выражения, полученные для случая солят. Поэтому

$$\frac{[A (\text{in} = 0.5) \quad B](D^2/4 + D Bi_1)}{4 i_7 \quad 0.5 k [A \text{in} x_0 + 0.5) + B] + (D^2/4 + D Bi_1)},$$
 (25')

где q_n — удельная мощность потерь в наиболее нагретой точке обмотки. Если заменить — в равенстве (25') $q_n = q_0(1+\beta\theta)$, где q_0 —удельная мощность потерь в обмотке при нулевом нагреве. β — температурный коэффициент удельного электрического сопротивления материала провода, то получим

$$0_m = \begin{cases} \frac{4\lambda_r}{q_0 a^2} \frac{0.5 \, k \left[A(\ln x_0 - 0.5) - B \right] + D^2/4 - D/B i_3}{\left[A(\ln x_0 - 0.5) - B \right] (D^2/4 + D/B i_3)} - 3 \end{cases}$$
(35)

Для проверки гочности предлагаемого метода воспользуемся результатами решения [1] уравнения температурного поля обмотки и методом теплового расчета обмотки масляных трансформаторов, указанных в [2] со следующими параметрами:

$$t_{r,s\phi} = 38.14 \cdot 10^{-4}; \ t_{y,s\phi} = 59 \cdot 10^{-4} \ Bm/c.u. \ zp.;$$

$$a = 3.6; \ t - 65; \ r_1 = 16.65, \ r_s = 2).25 \ c.u. \ q = 26.74 \cdot 10^{-3} \ Bm/c.u^3. \ ep.$$

$$a_1 = 46.56 \cdot 10^{-4}, \ a_2 = 58.2 \cdot 10^{-4}, \ a_3 = 87.3 \cdot 10^{-4}, \ a_4 = 12.51 \cdot 10^{-4} \ Bm/c.u^4. \ zp.$$

Некоторое отклонение между кривыми (1) и (2) объясняется тем, что при равных условиях превышение температуры наиболее нагретой изотермы у пилиндрических обмоток больше, чем у плоских (кривые 1 и 2 на рис. 2).

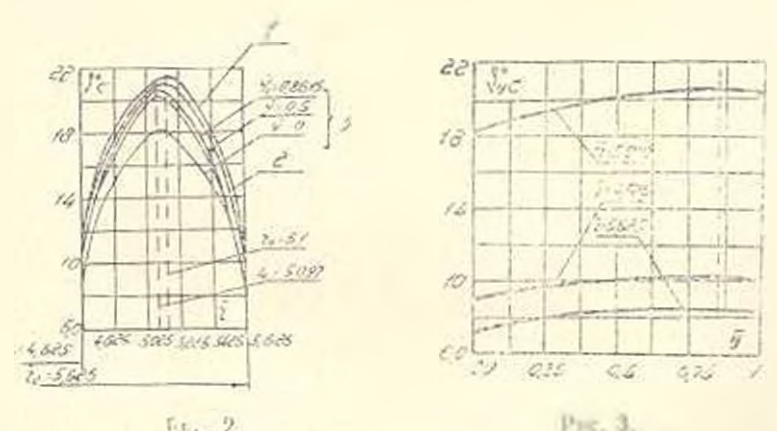


Рис. 2. Распределение температуры и радиальном направлении обмотки:

- 1. Расчетная по [2].
- Расчетияя по 111.
- 3. Рассинтанная по формулам (25) и (28).

Рас. 3. Распределение температуры в продольном направлении обмотки.

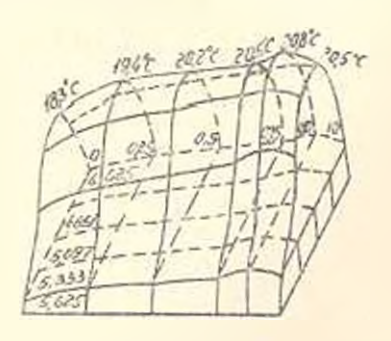


Рис. 1. Пространственное распределение температуры в обмотке.

В силовых масляных трансформаторах до 1000 кВл $Bi_s \sim \frac{1}{7.5}$ Bi_s . Для этих же трансформаторов Bi_s , в зависимости от высоты обмоток, изменяется в пределах от 0,01 до 0.5, а y_s меняется от 0,88 до 0,86, т. е. y_s является слабой функцией от Bi_s . Таким образом, для трансформаторов до 1000 кВл y_s с точностью до 1,5% можно принять равным 0,87. С другой стороны, для силовых масляных трансформаторов указанных мощностей l не межет быть ниже 10, ноэтому коэффиниент k пренебрежимо мал. Если учитывать также, что ширина охлаждающего канала обмотки выбирается по нормам, принеденным в [2], то в этом случае $Bi_s = Bi_s$. При этих условиях равенства (10), (25) и уравнение (28) упрошаются и принимают вил:

$$A = \frac{r_2^2 - \overline{r}_1^2 + \frac{2}{Bl}(\overline{r}_1 + \overline{r}_1)}{\ln \frac{\overline{r}_2}{\overline{r}_1} + \frac{1}{Bl}(\frac{1}{\overline{r}_1} + \frac{2}{\overline{r}_2})^{\mp}}$$
(36)

$$P_0 = \frac{qe}{4r} \left[A \left(\ln \bar{x}_0 - 0.5 \right) + B \right]^2$$
 (37)

$$h = 0 - \frac{(-\ln x_0 - 1.74Bi_0)\overline{y} - Bi_0y^2 - 1.74}{(A(\ln x_0 - 0.5) + B)(0.757Bi_0 + 1.74)}$$
(38)

Сравнительный апализ показал, что превышение температуры наиболее нагретой точки обмотки в указанных масляных трансформаторах можно рассчитать по формуле (37), т. к. погрешность по сравнению с результатами расчета по равенству (25) для инпроких диапазонов изменения q составляет не более 1%.

Температурные поля, полученные экспериментально в обмогке масляного трансформатора 630 кВА с классом напряжения 6 кВ при различных тепловых режимах идентичны. Погрешность расчета по формуле (37) и (38) не превышала 5% от результатов опыта, что вполне приемлимо для практических расчетов.

11. О. «Армэлектромані»

Поступная 10.У.1978.

Պ. հ ԱԶԱՐՅԱՆ

ցոթվացին ցրանսանորքացորների Գվանավեվ բաշմաներց ՓԱԹՈՒՅԻՆԵՐՈՒՄ ԱՌԱՎԵԼ ՏԱՔԱՑԱԾ ԿԵՏԻ ԳԻՐՔԻ ԵՎ ՋԵՐՄԱՅՏԻՀԱՆԻ ՈՐՈՇՄԱՆ ՄԱՍԻՆ

Վերլուծվում է յուղային արանաֆոռմատորների զլանաձև բազմաշերտ փա-Ռույքների երկչափ ջերմասաիձանային սաշար և առաջարկվում է այդպիսի փաքույքների ջերմային հաշվարկի նոր մեքքող։

ЛИТЕРАГУРА

- 1. Готтер Г. Нагревания и оклажаения электротехнических машии, ГЭИ, 1961.
- 2. Тихомиров П. И. Расчет грансформаторов М., «Энергия», 1968.
- 3. Льтов А. В. Теврия теплопроводности М., «Высшая школо», 1967.
- 4 К. релоу X ... Егер Д. К. Теплопроподия ть эпердых тел. М., «Наука», 1964.
- Пехония 1 И Жидких В. И. Рас е. теплового режима твердых тел. М. «Энертия» 1968.
- 6. Залисский А. М., Кукеко Г. А. Тепловые рисчеты электрических аппаратов. М., «Энергия». 1967.